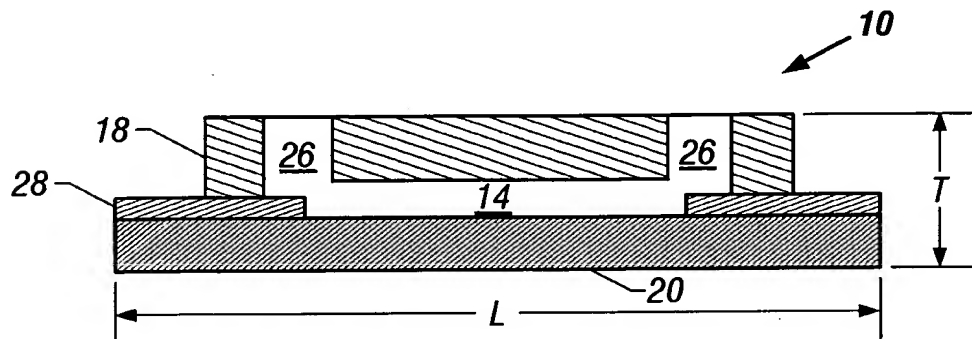
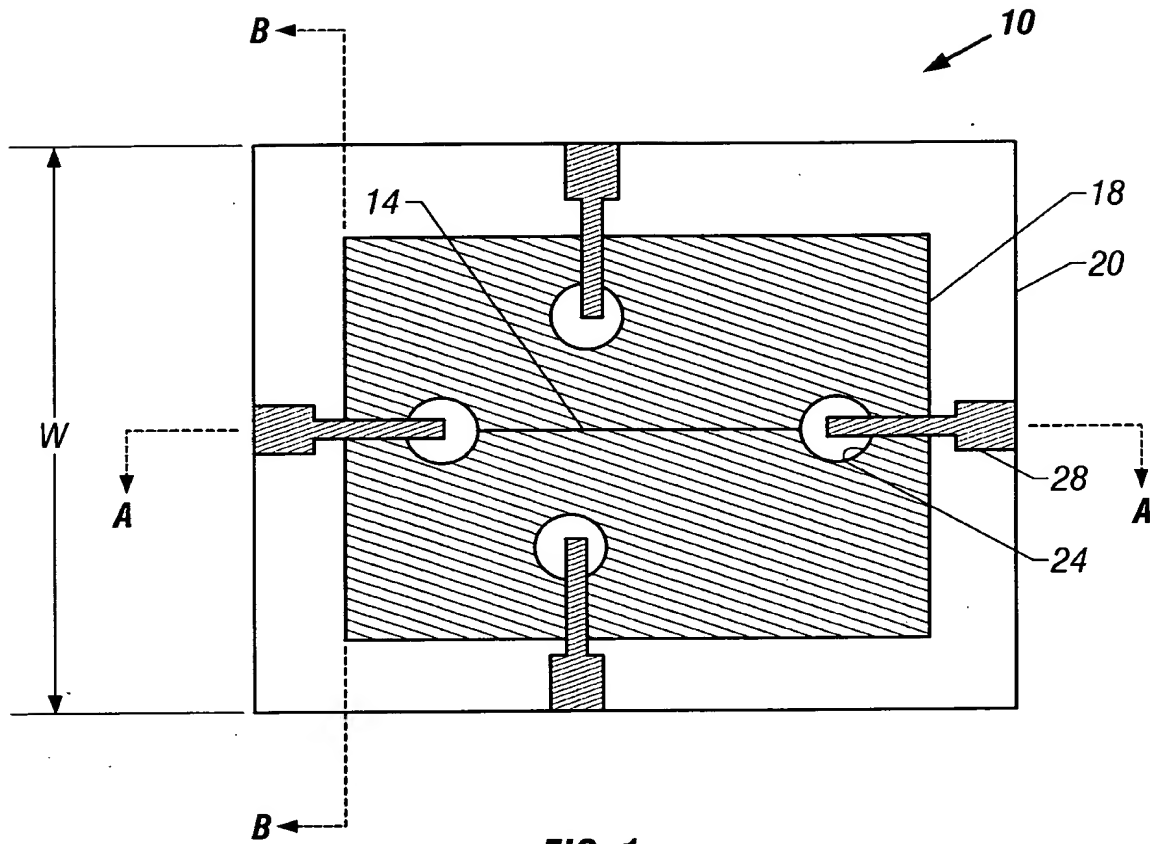


1/19



2/19

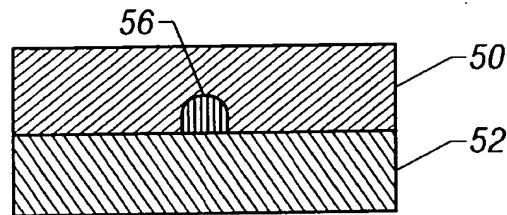


FIG. 3A

70 →

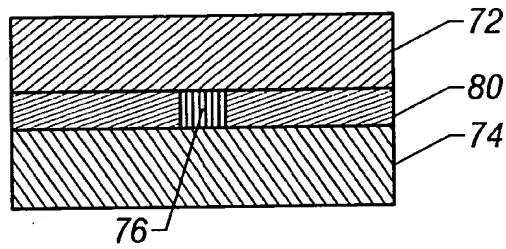


FIG. 3B

90 →

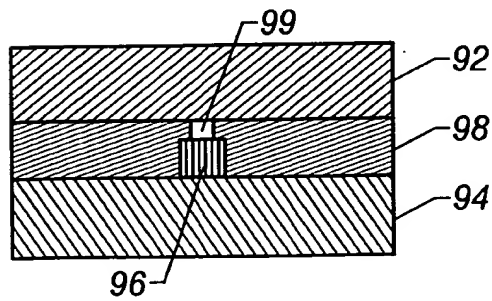


FIG. 3C

3/19

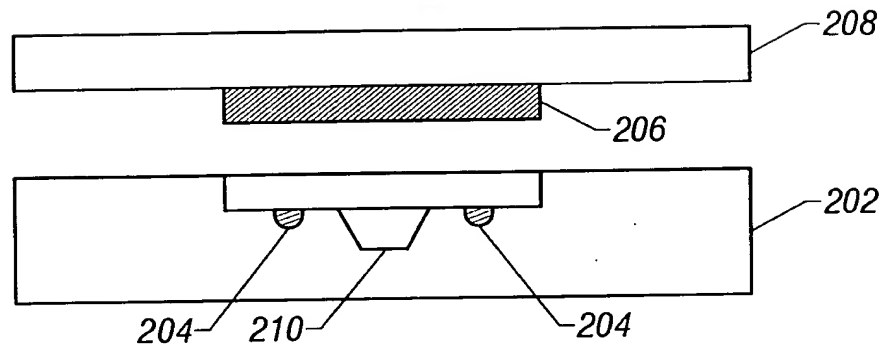


FIG. 4A

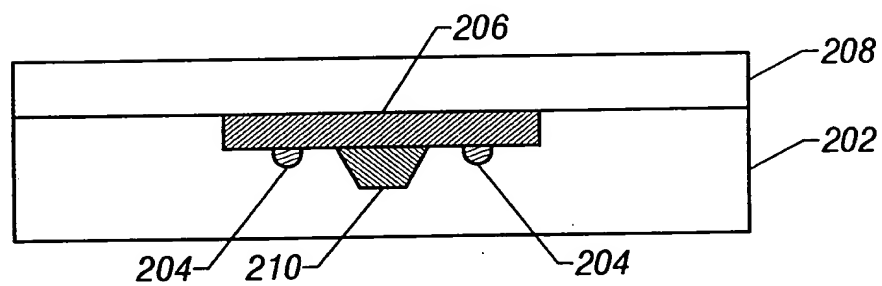


FIG. 4B

FIG. 4A

4/19

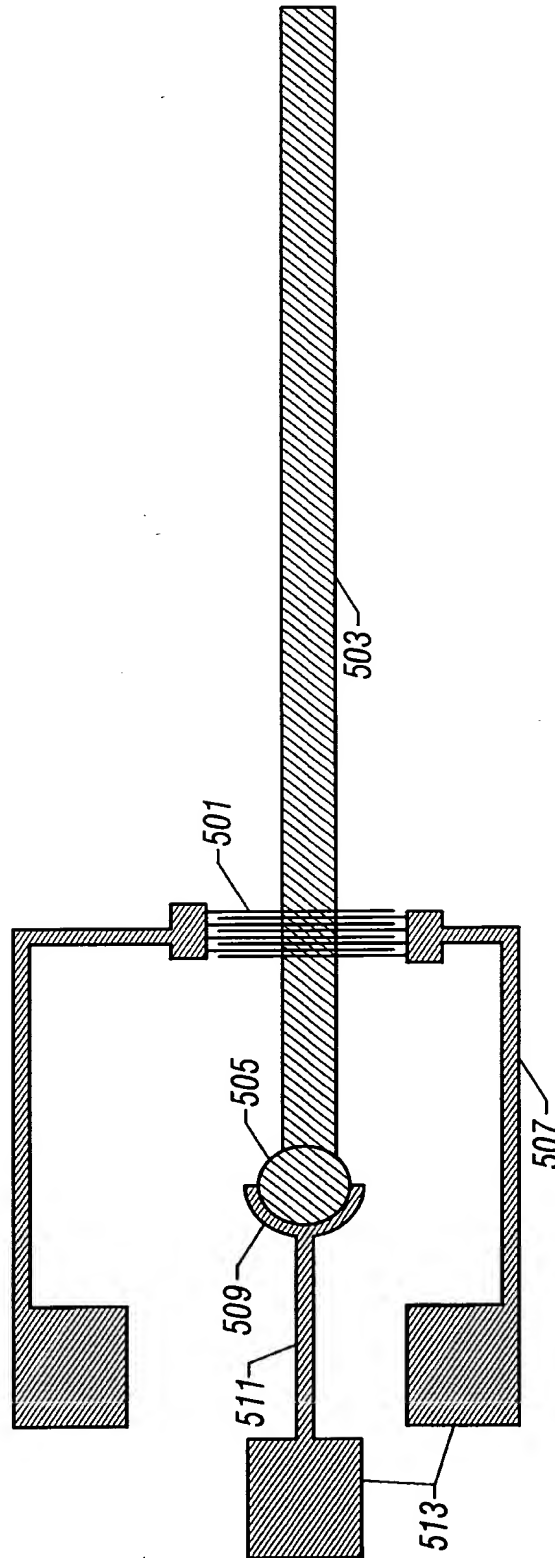


FIG. 5

5/19

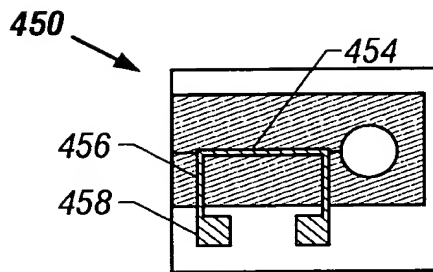


FIG. 6A

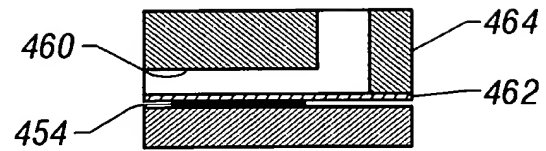


FIG. 6B

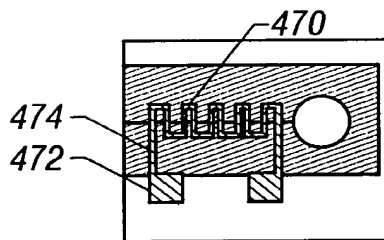


FIG. 6C

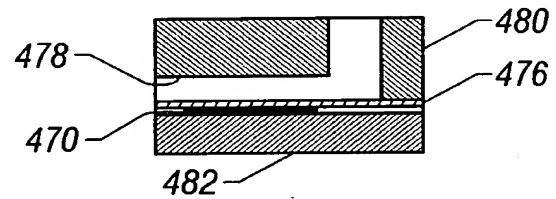


FIG. 6D

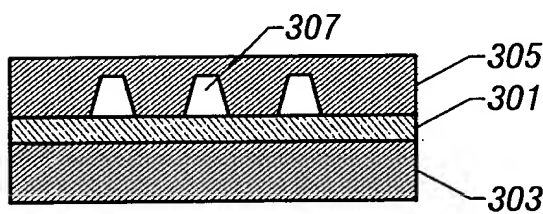


FIG. 7A

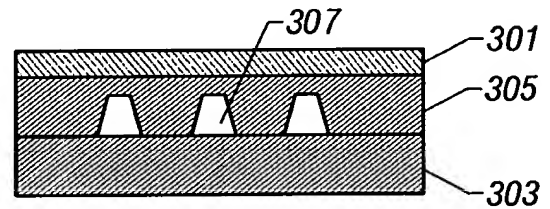


FIG. 7B

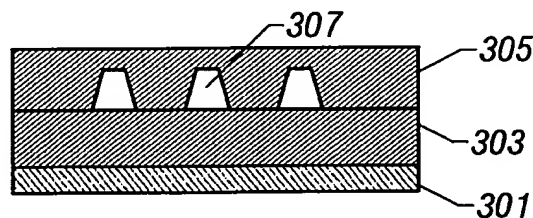


FIG. 7C

09939327-12101

6/19

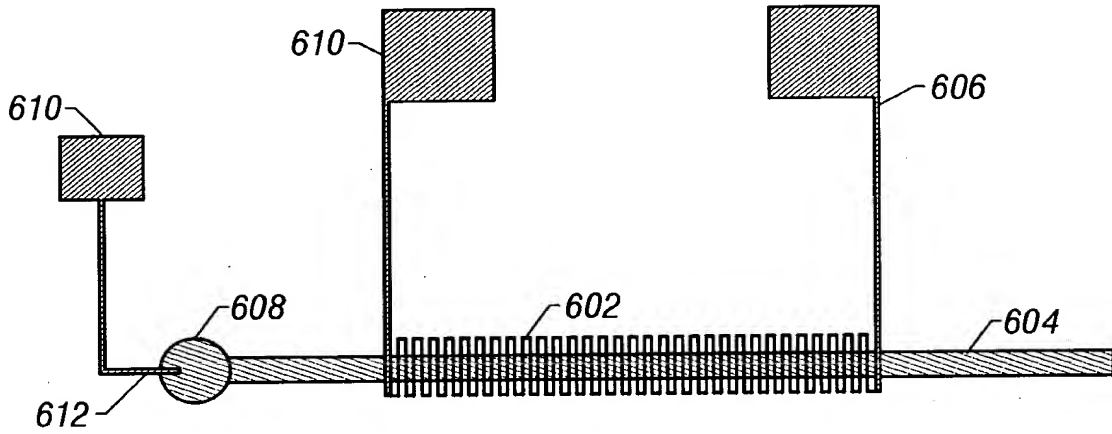


FIG. 8

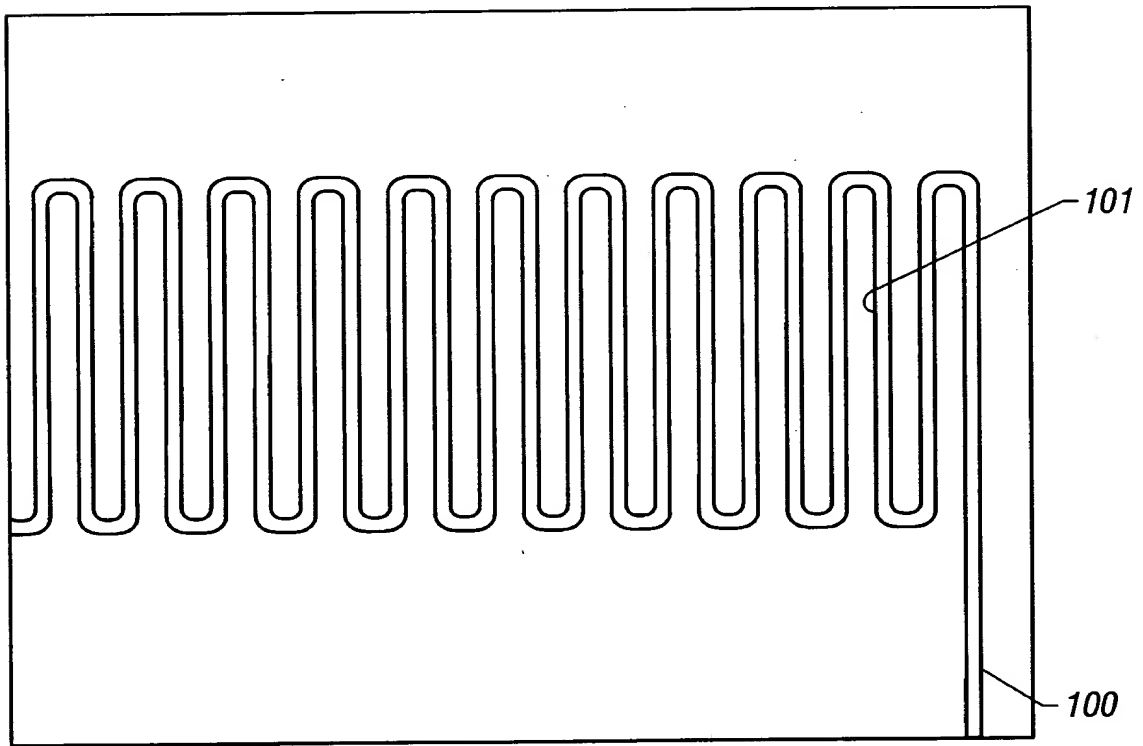


FIG. 9

FIG. 8

7/19

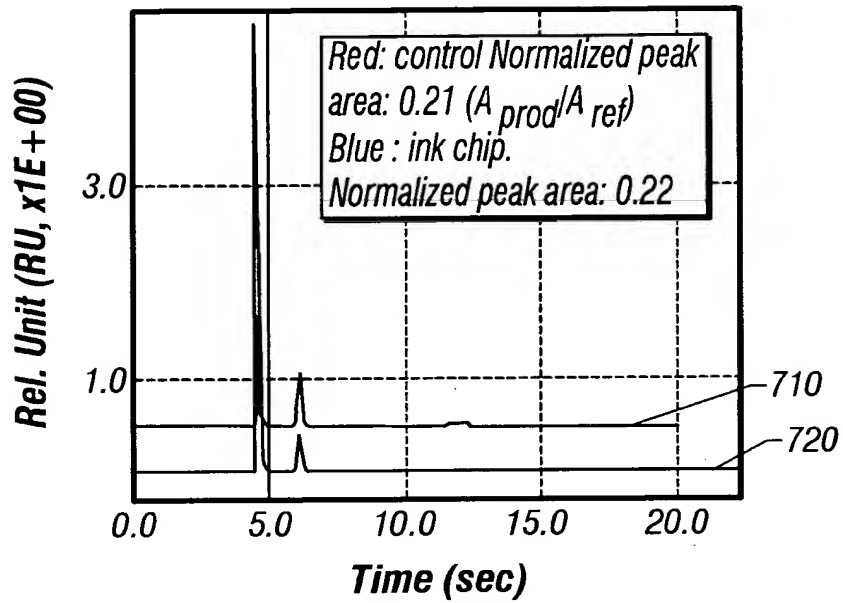


FIG. 10

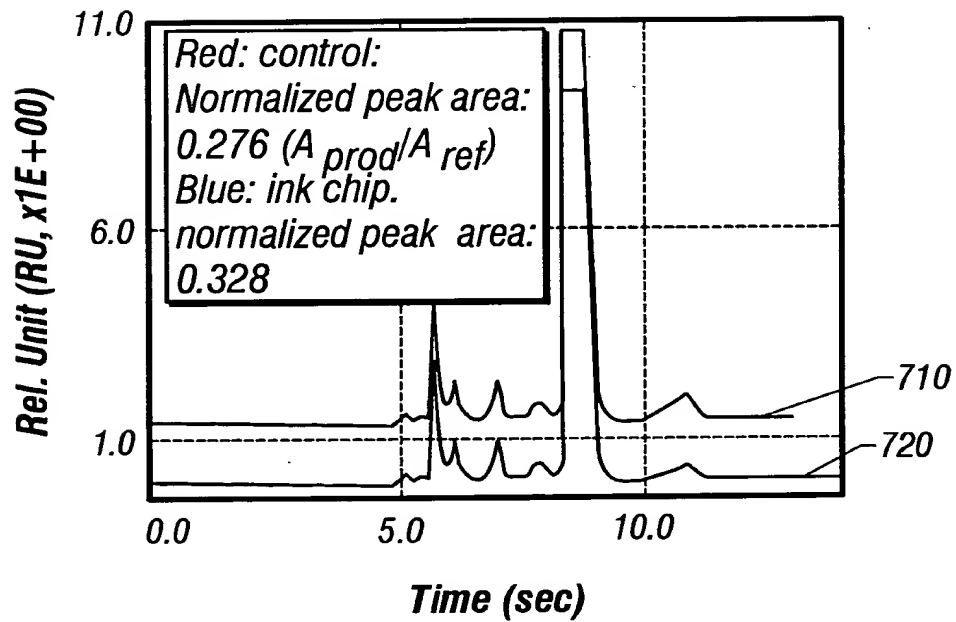


FIG. 11

8/19

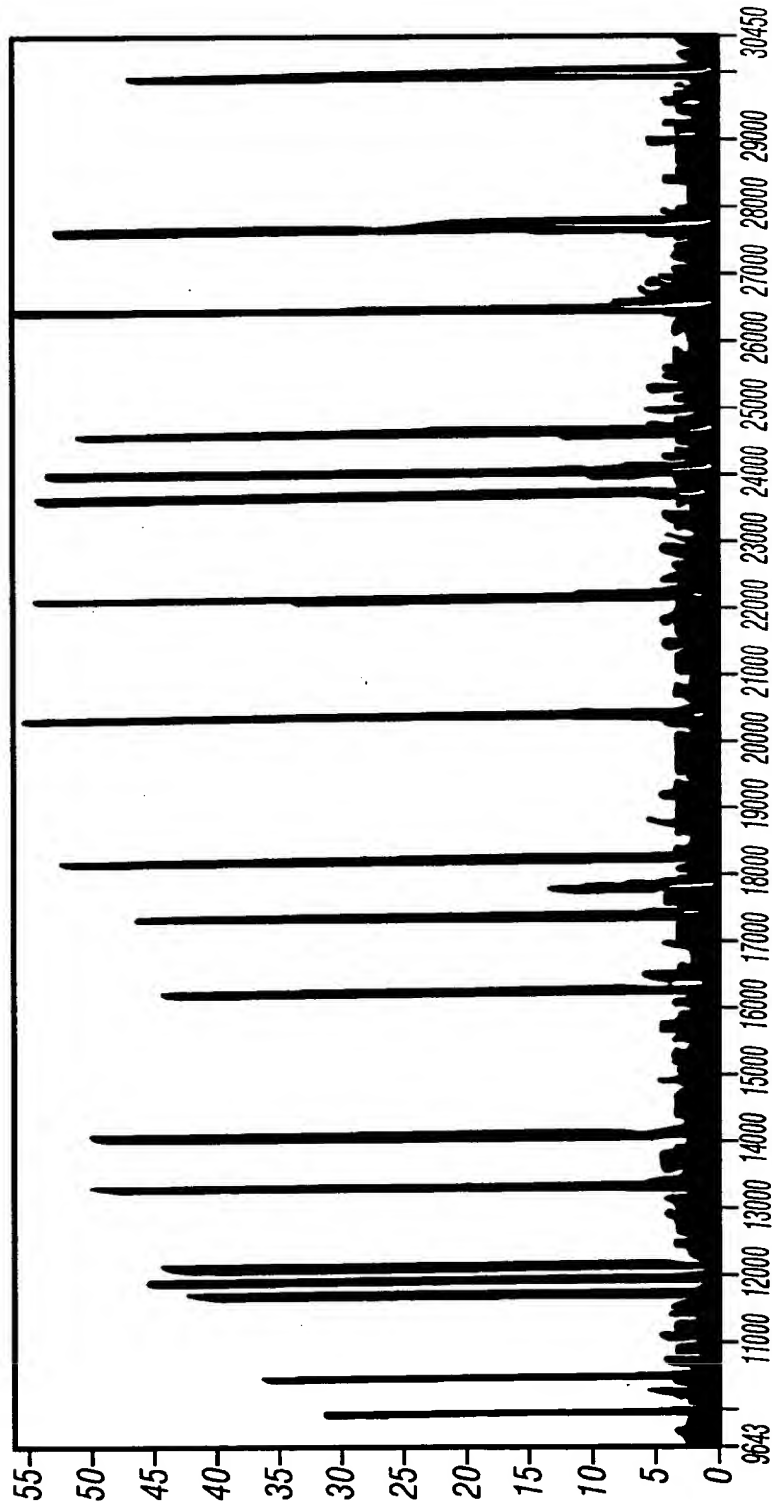


FIG. 12A

FIG. 12A

9/19

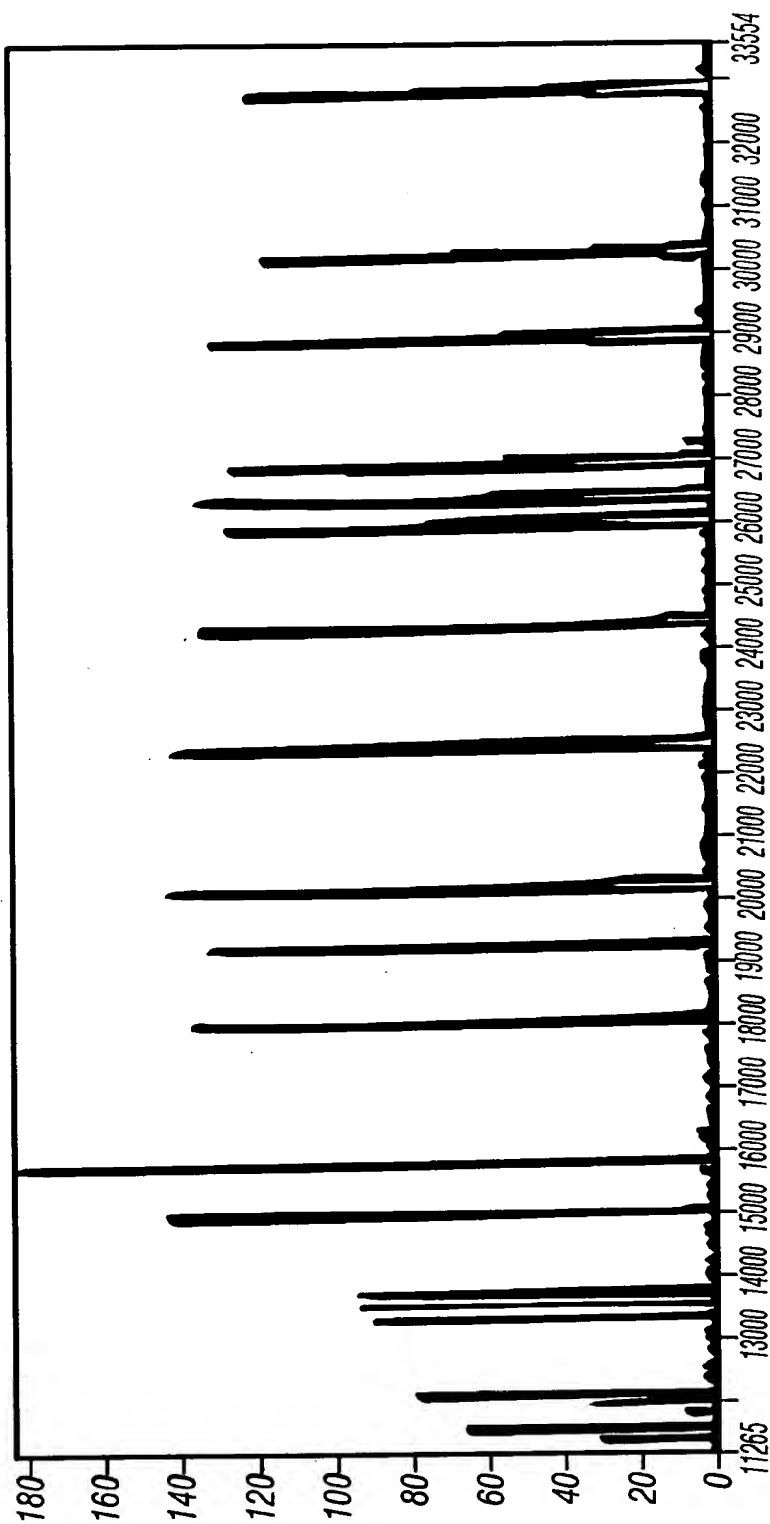


FIG. 12B

FIG. 12B

10/19

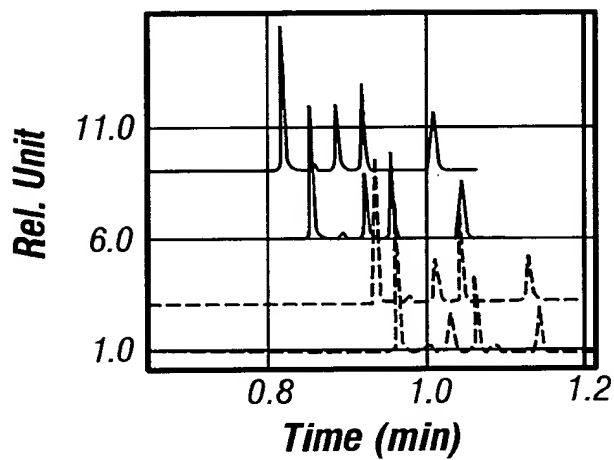


FIG. 13

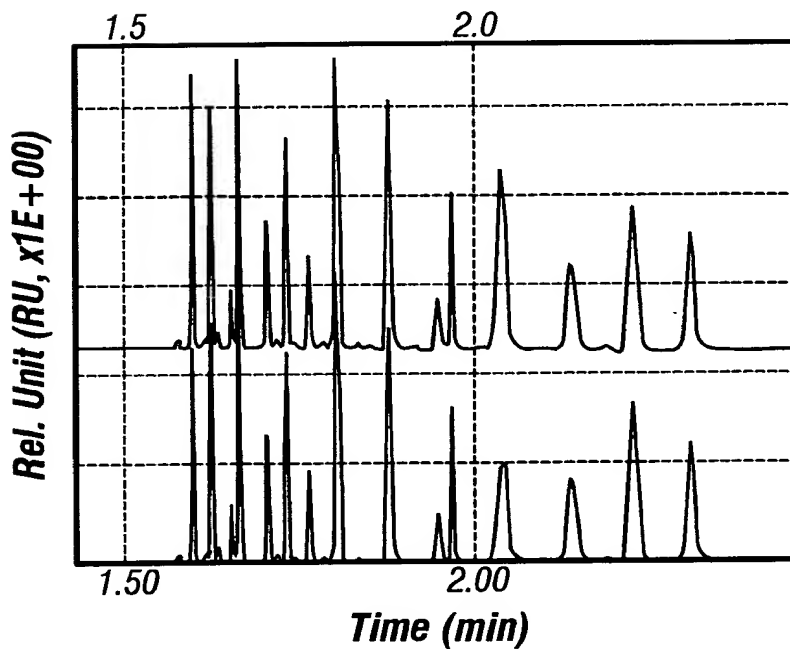


FIG. 14A

FIG. 14A

11/19

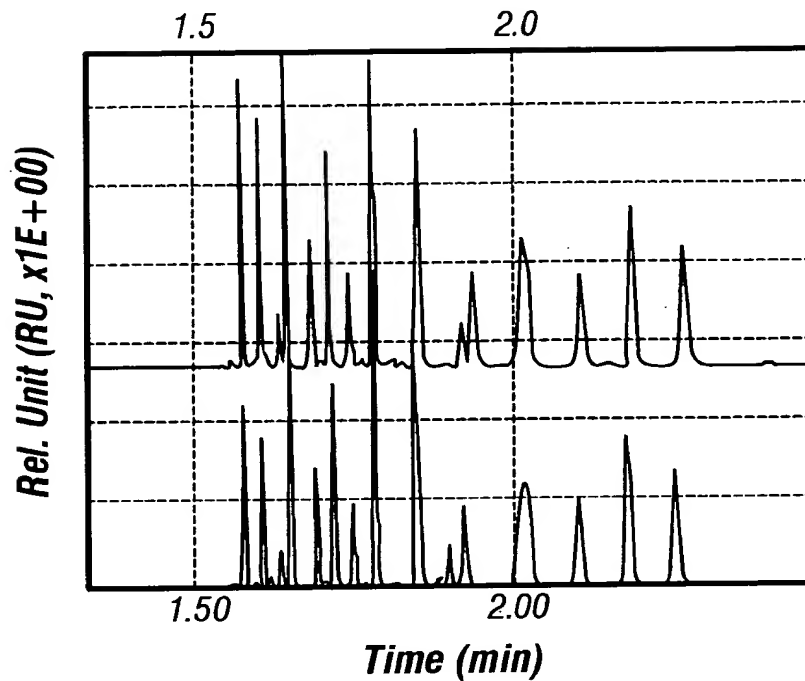


FIG. 14B

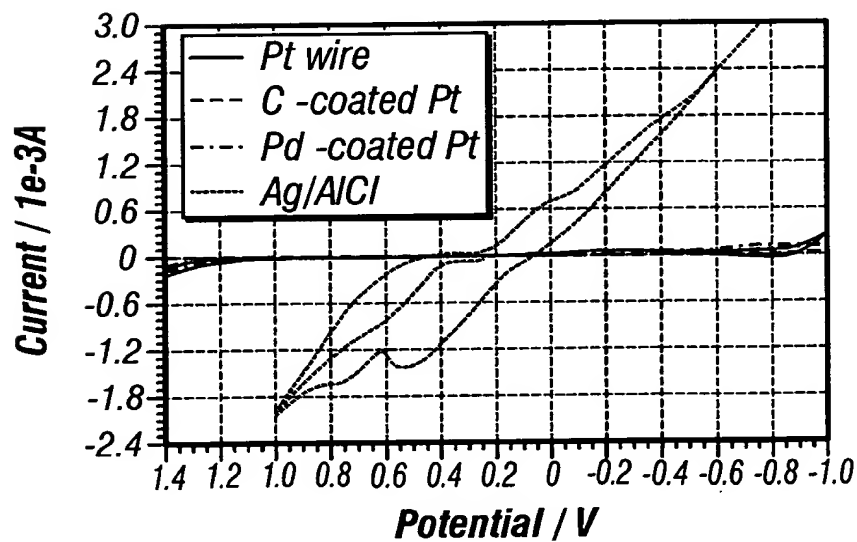


FIG. 15A

12/19

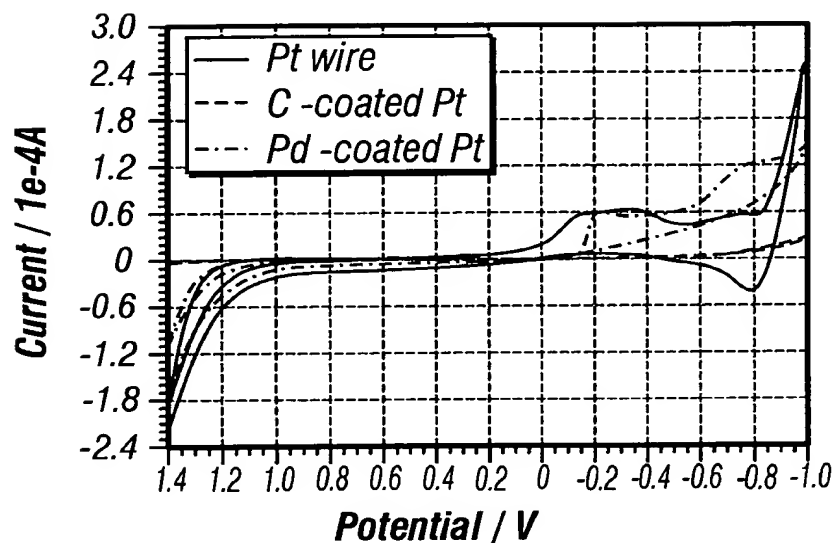


FIG. 15B

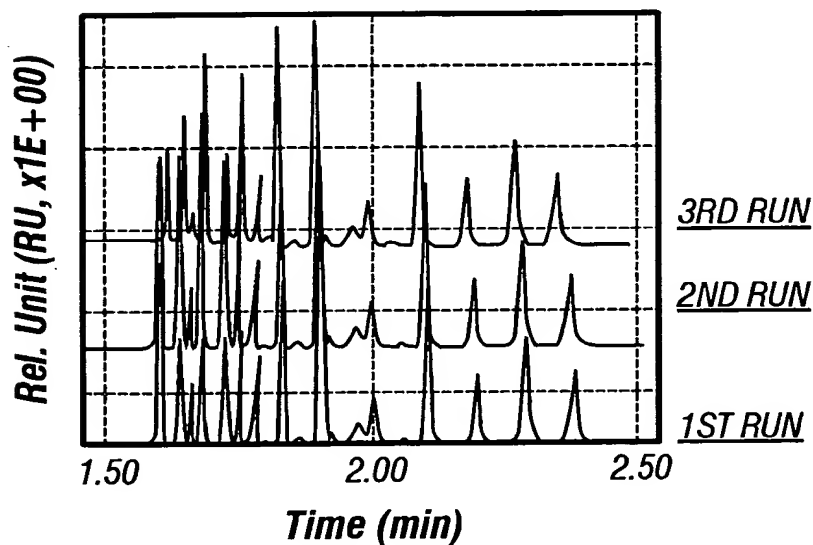


FIG. 16

13/19

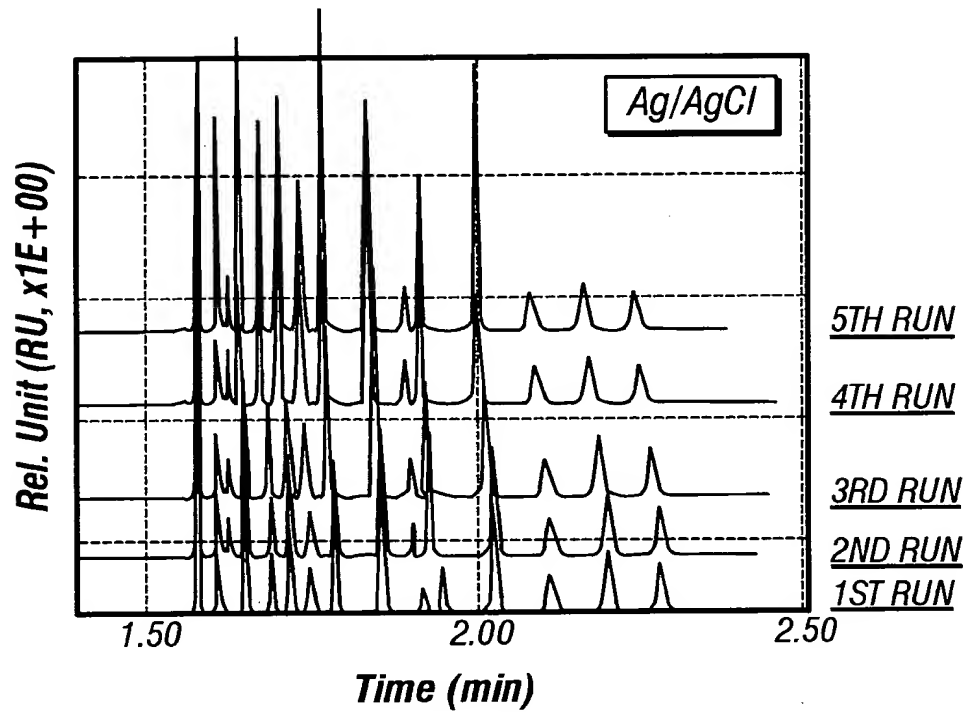


FIG. 17

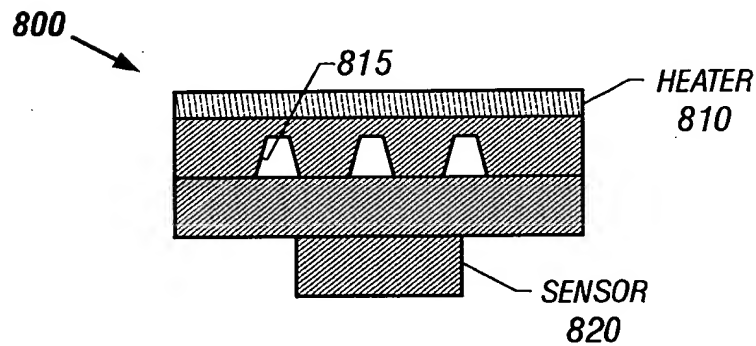


FIG. 18

14/19

REPEATED UNIT HEATER,
 $R=760\Omega$

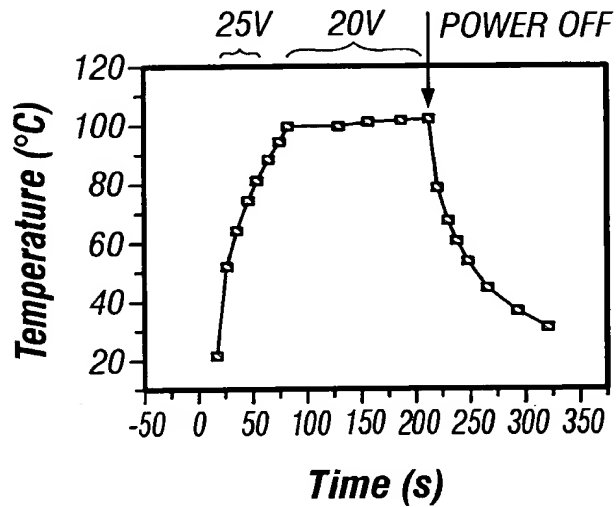


FIG. 19

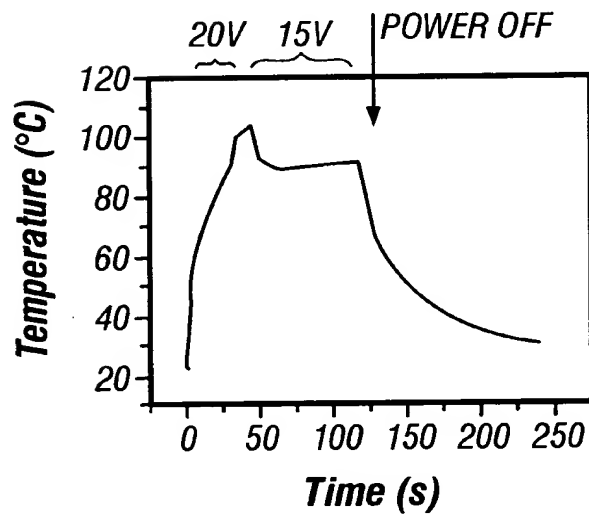
 $R=205\Omega$ 

FIG. 20

15/19

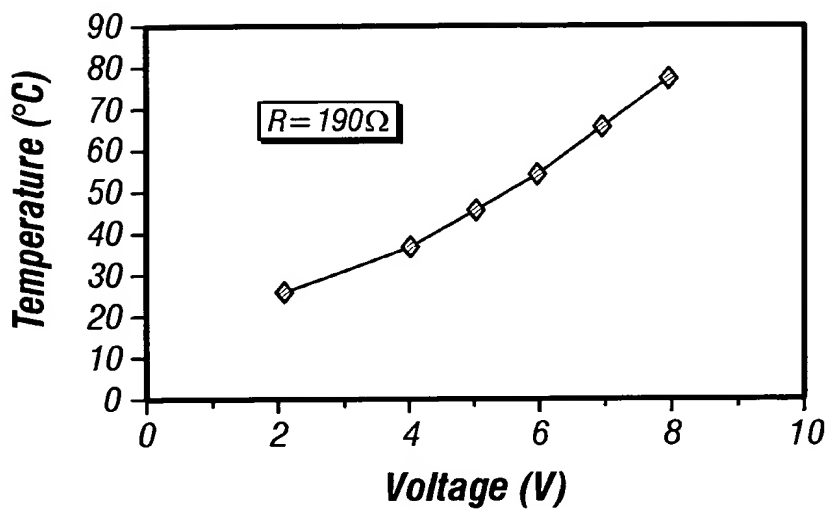


FIG. 21A

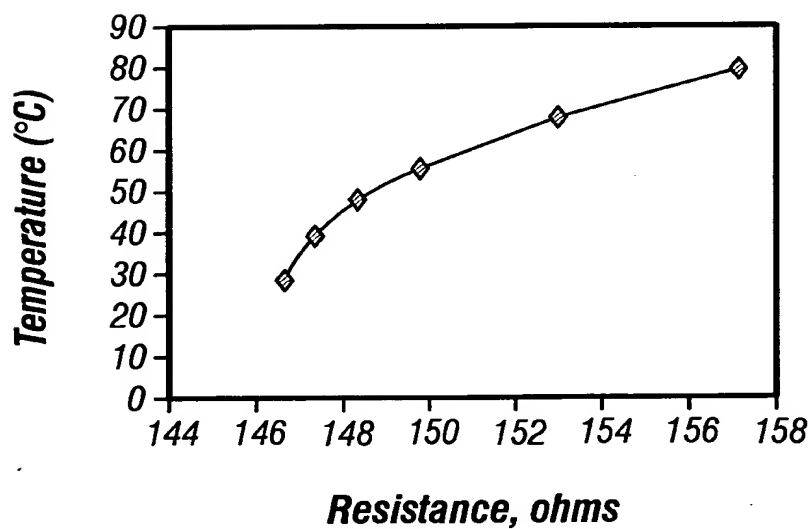


FIG. 21B

FIG. 21A

16/19

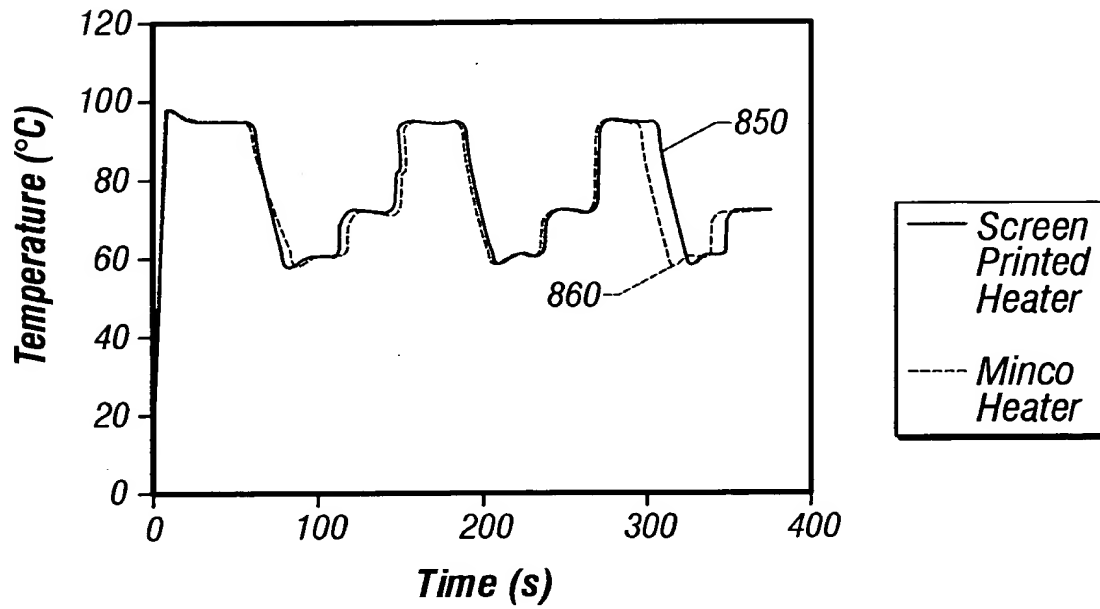


FIG. 21C

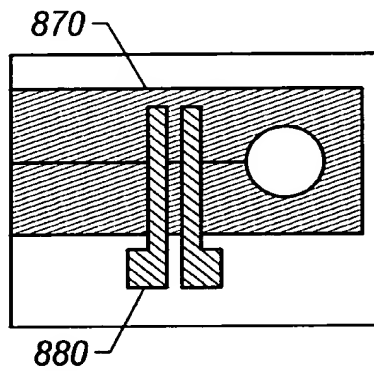


FIG. 22A

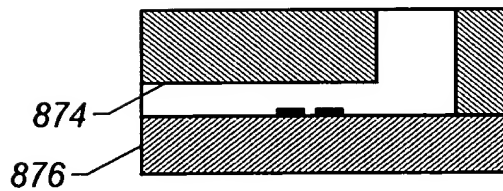


FIG. 22B

17/19

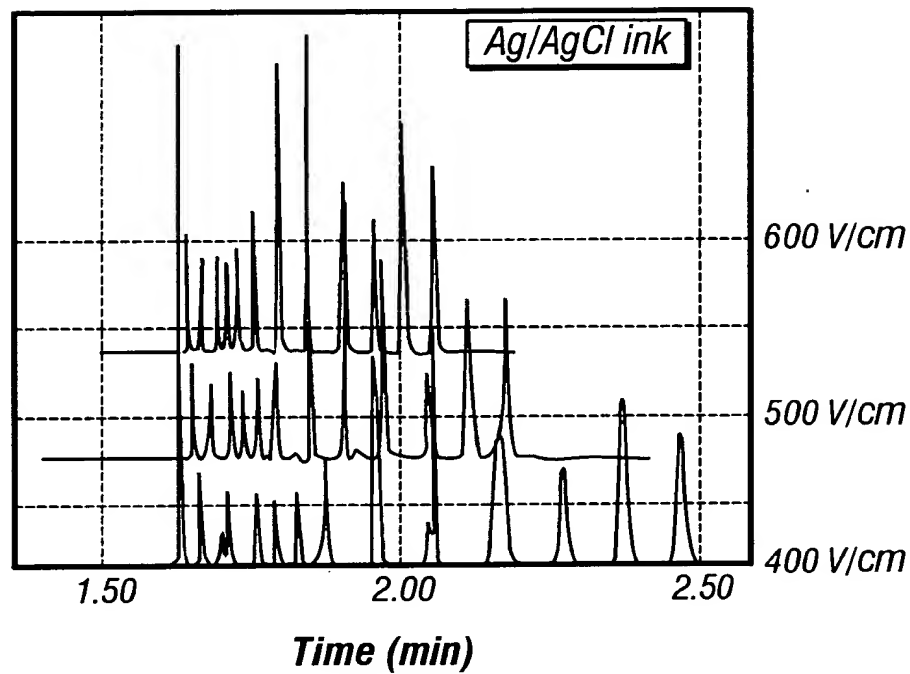


FIG. 23

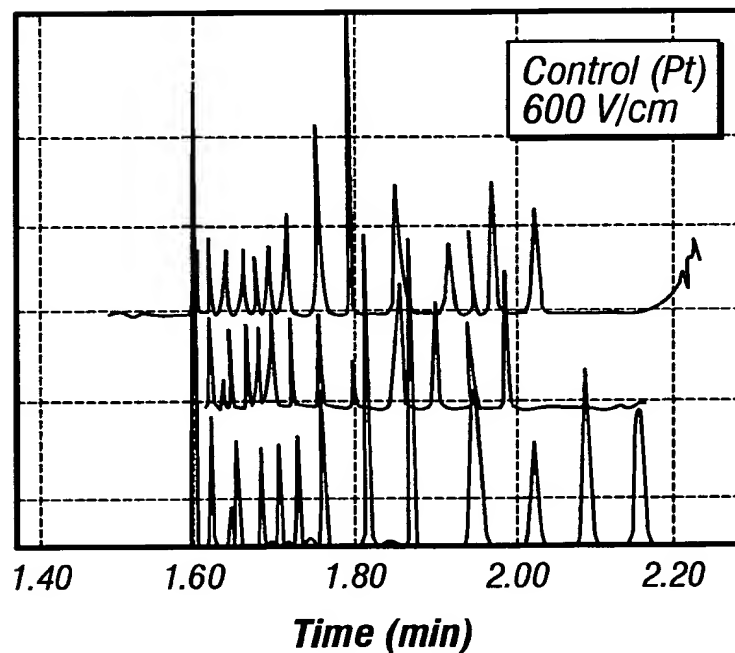


FIG. 24A

09939327 2266660

18/19

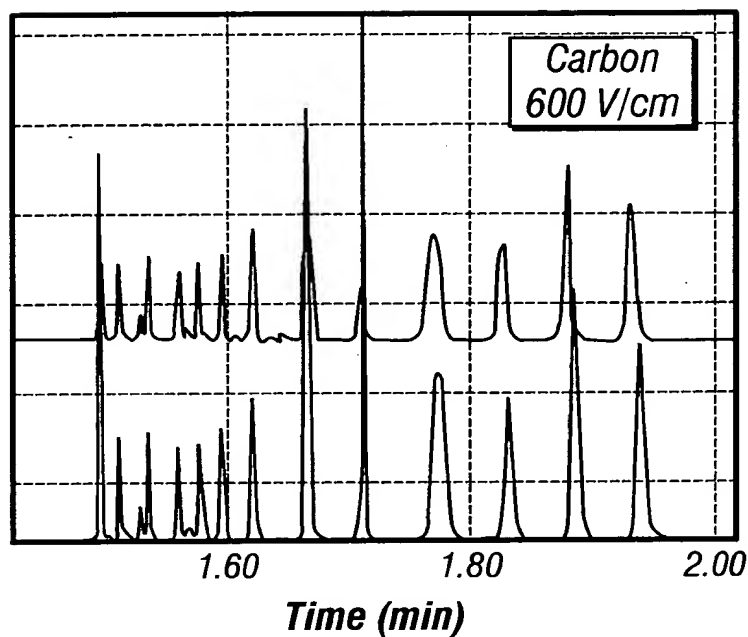


FIG. 24B

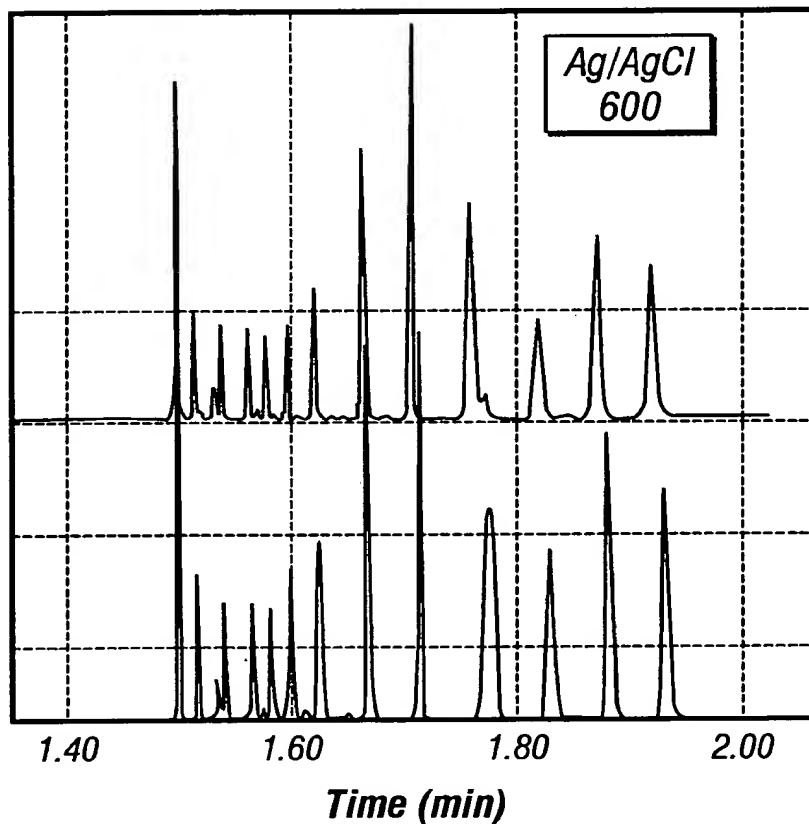


FIG. 24C

19/19

eTag Probes (-FC)	Migration Time (min)				Normalized Peak Height				Half Peak Width				Resolution			
	Average		CV		Average		CV		Average		CV		Average		CV	
	Pt	Ink	Pt	Ink	Pt	Ink	Pt	Ink	Pt	Ink	Pt	Ink	Pt	Ink	Pt	Ink
163	1.56	1.50	6.61	0.19	0.69	0.56	2.81	4.74	0.15	0.12	33.81	4.60				
158	1.58	1.51	6.80	0.19	0.27	0.22	1.61	2.45	0.15	0.13	25.18	2.79	1.01	0.81	25.92	0.70
33	1.61	1.54	7.08	0.18	0.34	0.27	4.80	3.40	0.17	0.15	27.95	0.98	1.36	1.08	19.80	1.18
26	1.63	1.56	7.40	0.23	0.30	0.25	3.57	2.77	0.21	0.18	30.71	2.40	1.38	1.04	27.73	1.30
25	1.65	1.58	7.49	0.22	0.26	0.22	3.28	1.57	0.17	0.16	23.50	4.94	1.05	0.89	13.48	1.44
174	1.67	1.60	7.73	0.22	0.30	0.27	4.16	2.37	0.20	0.18	25.84	2.82	1.32	0.86	44.60	0.90
1	1.70	1.62	7.98	0.22	0.48	0.41	0.29	5.20	0.23	0.20	27.30	2.42	1.51	0.81	70.08	13.70
187	1.75	1.67	8.41	0.21	1.01	0.88	4.52	0.54	0.25	0.22	26.68	1.91	2.04	1.14	63.05	0.06
188	1.80	1.71	8.85	0.37	0.63	0.59	5.03	6.99	0.10	0.08	34.24	6.73	2.17	1.07	33.52	9.03
189	1.86	1.77	9.45	0.72	1.54	1.42	2.98	1.25	0.76	0.53	30.56	29.77	1.99	1.03	30.19	6.73
190	1.92	1.82	10.07	0.50	0.75	0.71	0.64	1.02	0.49	0.46	39.83	21.75	1.59	1.00	47.68	6.52
191	1.98	1.87	10.64	0.41	1.20	1.18	0.33	0.23	0.47	0.42	37.31	10.72	1.72	1.04	45.94	0.27
192	2.04	1.92	11.08	0.44	1.00	1.00	0.00	0	0.49	0.42	35.82	6.85	1.57	0.92	29.69	2.93

FIG. 25